

تأثير حدود الحبيبات على بعض متغيرات ثنائيات شوتكي Al-poly Si-Al

** سمر يونس طه *
 *** جنان مظفر مجید ***
 *** يوسف مولود حسن ***

تاریخ قبول النشر ٢٠٠٤/٦/٩

الخلاصة

تم قياس طاقة التشيط الحراري E_a وفجوة الطاقة البصرية E_g في مناطق مختلفة لرقية سليكون متعدد البلورات من النوع الموجب (P). وتم قياس المتغيرات الخاصة بثنائيات شوتكي من نوع الألمنيوم - سليكون متعدد البلورات - الألمنيوم من خلال التيار - فولتيّة والدراسة المجهريّة. وتبين من القياسات أن كثافة طول حدود الحبيبات لوحدة المساحة له تأثير أقل من نوع زاوية التقاطع بين هذه الحدود على بعض متغيرات ثنائيات شوتكي. كذلك درست آلية التفاعل بين معden الألمنيوم مع حدود الحبيبات ونقط التقاطع في درجات حرارة مختلفة. وقد تم تحديد نسبة تراكيز الألمنيوم المنتشرة في سطح السليكون باستخدام تقنية الأشعة السينية الوسيطة.

المقدمة

كثيراً مقارنة بعملية التبلور بطريقة زوخر السكري المعروفة والمضيّعة لوقت في تحضير الأسطوانات السليكونية وكذلك توفر من هدر مادة السليكون أثناء تقطيع القالب إلى الرقاائق. لقد وجد أن سعر واط واحد من القدرة الناتجة من لوح السليكون متعدد البلورات (0.36) من سعر القدرة نفسها من لوح السليكون البلوري (5 و 4). إن المناطق المهمة في السليكون متعدد البلورات هي الحدود الواقعية بين الحبيبات (grains) البلورية حيث يظهر حاجز الكتروستانكي على جانبي حدود الحبيبات (6) مشابهاً لحالة المفارق المتباينة في شبه الموصى - معن . وهذا يعمل على إعاقة جريان حاملات الأغليبة مما يجعلها تبدو كمقاومة كبيرة . لقد وجد عند تحضير ثنائيات شوتكي (Schottky) ان معدل حجم الحبيبات البلورية له

ازداد اهتمام الباحثين منذ بداية السبعينيات بالبحث عن تركيب وخصائص سليكون متعدد البلورات ليحل محل السليكون البلوري المستخدم حالياً بشكل واسع في جميع الصناعات الإلكترونية الحديثة (1) وخصوصاً الخلايا الشمسية (2) والدوائر المتكاملة ذات المساحات الواسعة . وللسليكون متعدد البلورات فوائد تقنية واقتصادية مهمة حيث يمكن تحضير رقاائق السليكون متعدد البلورات بإشكال مربعة (3) وذلك بحسب مناصر السليكون النقفي في قوالب مربعة وهذه الأشكال المربعة للرقائق تزيد من كثافة الرص للخلايا في اللوح الشمسي مقارنة مع الخلايا الدائرية مما يقلل من كلفة المواد المستخدمة في صناعة اللوح الشمسي (3) . وعملية التبلور بطريقة بقنية القوالب المربعة توفر وقتاً

القويمي يعاد النموذج إلى وحدة التغطية (Balzers Coating Unit) لترسيب الألمنيوم على الوجه الأمامي للنموذج بسمك 40nm وتحت ضغط 10^{-5} تور من خلال قناع معدني يحوي فتحات دائريّة بأقطار مختلفة (1.0, 1.5, 2.0 mm) وتم الترسيب على مناطق مختلفة من سطح الرقيقة بحيث يتضم دائرة الثنائي أطوال متباعدة وأشكال من القاطع بين الحدود كما مبين في الشكل رقم ١-١ .

اما النماذج الخاصة بدراسة نسبة تركيز الألمنيوم داخل سطح الرقيقة للسليكون متعدد البلورات فقد تم ترسيب الألمنيوم على سطح الرقيقة وعولمت النماذج في درجات حرارة مختلفة (0°C , 200, 400, 600, 800) ، ثم أزيل الألمنيوم المترسب بتغطيس النموذج في محلول إزالة الألمنيوم (1930:85:480CC).

$\text{CH}_3\text{PO}_4:\text{HNO}_3:\text{CH}_3\text{COOH}$ في درجة حرارة 60°C لمدة 5min ، وبعد ذلك تم تنظيف النموذج بأسيلتون لمدة دقيقتين ثم غسل بالماء المقطر غير الأيوني . وبعد تجفيف النماذج ثبتت على الحاملات الخاصة بتقنية الأشعة السينية الوميضية .

القياسات

تم قياس التوصيلية الكهربائية وطاقة التشيط (E_g) (Activation Energy) للنموذج في مناطق مختلفة وذلك بعمل الأقطاب المستوية (Planer electrodes) والأقطاب الشطيرية (Sandwich electrodes) حيث تم تسليط الجهد الكهربائي بواسطة مجهر القراءة المستمرة وسجل فرق الجهد عبر النموذج بواسطة فولتميتر رقمي صناعة شركة ماركوني وطراز TF 267 وتم قياس التيار باستخدام أميتر صناعة شركة HP وطراز 3460B وقيس التوصيلية الكهربائية في درجات حرارة مختلفة لإيجاد طاقة التشيط. لقياس فجوة الطاقة البصرية (E_g) (Optical Energy Gap) استخدام مطياف من طراز (Pu 8800 UV/Vis) وطول موجي ضمن المدى (300-850 nm) . ومن تسجيل تغير انعكاسية سطح النموذج مع تغيير الطول الموجي الساقط على النموذج تم حساب معامل الامتصاص . واستخدم جهاز الأشعة السينية الوميضية لتخمين نسبة تراكيز الألمنيوم المنتشرة ضمن الطبقة السطحية للرقيقة في درجات حرارية مختلفة.

تأثير واضح على كفاءة الشائطات عند تحويل الضوء إلى كهرباء ويعزى ذلك إلى إسهام حدود الحبيبات بشكل فعال في عملية إعادة اتحاد (recombination) للحاميات الأقلية مما يقلل من التيار الضوئي (7) . وفي الوقت نفسه تحد المقاومة الكبيرة الناتجة بسبب الحاجز الإلكتروني-ستاتيكي بين الحبيبات من نقل الحاملات الأقلية (3) . وقد وجد أيضاً أن الحاجز الإلكتروني-ستاتيكي المتكون من تلامس المعدن مع سطح السليكون البلوري أعلى من الحاجز الإلكتروني-ستاتيكي بين المعدن والسليكون متعدد البلورات . كما وجد العلماء أن حدود الحبيبات له تأثير كبير على كفاءة الخلية الشمسية المصنعة من Si, CdS (8, 9). ركزت ألا بحث على استخدام تقنيات مختلفة للتغلب على مشكلة حدود الحبيبات في السليكون متعدد البلورات . ومن تقنيات المستخدمة تقنية كبح فعالية الأواصر السائبة الموجودة عند هذه الحدود بالهيدروجين وتقنية انتشار الألمنيوم في هذه الحدود (10) وأكسدة سطح الرقيقة (11) .

في السنوات الأخيرة اهتم العلماء بدراسة الخواص الكهربائية لحدود الحبيبات لخلايا الشمسية $\text{CdTe/Cds}, \text{CdTe}$ (12, 13). في هذا البحث تم دراسة آلية التفاعل بين معدن الألمنيوم مع حدود الحبيبات ونقطات التقاطع في درجات حرارة مختلفة . وقد تم تحديد نسبة تراكيز الألمنيوم المنتشرة في سطح السليكون بتقنية الأشعة السينية الوميضية (X-ray Fluorescence Spectrometry).

تحضير النماذج

تم قطع عدد من نماذج السليكون متعدد البلورات (2x2 cm) من رقيقة كبيرة تم الحصول عليها من شركة Wacker (-Chemitronic GmbH) والمعروفة تجاريا باسم سيلسو (SILSO) . وبعد تنظيف النماذج كيميائياً استخدم قسم منها للدراسة مباشرة كمراجعة للاعتماد عليها ، أما النماذج الأخرى فقد استخدمت لعمل ثانيات شوتكي أو لدراسة انتشار ذرات الألمنيوم على سطح الرقيقة وحدود الحبيبات . لتحضير ثانيات شوتكي تم ترسيب الألمنيوم على الوجه الخلفي والأمامي للرقيقة كما موضح في الشكل رقم ١-١ . للحصول على التلامس المقاومي تم ترسيب الألمنيوم بسمك 200nm تحت ضغط 10^{-5} تور على السطح الخلفي للرقيقة وبعد ذلك تم تأدين النموذج في الفرن بدرجة 450°C ولمدة 30min ، تم ترك النموذج لدرجة حرارة المختبر . ولعمل التلامس

مقارنة مع شكل زاوية التقاطع بين حدود الحبيبات وهذا يتفق مع ما توصل إليه مرجع (10). ومن الواضح أن زيادة مساحة الثنائي لها تأثير قليل على قيم ϕ_b (قارن قيم ϕ_b لثنائي ١,٤,٧) حيث أن الثنائي رقم ٤ لا يحتوي على حدود حبيبات ويحتوي ١,٧ على أقل عدد من حدود الحبيبات ونقط تقاطع. أما عند مقارنة الثنائي ٣,٤ حيث أن الثنائي رقم ٣ أقل مساحة نلاحظ أن قيم ϕ_b قلت في حين ازدادت قيم J_s مع زيادة عدد نقاط التقاطع وحدود الحبيبات . نفس العلاقة تلاحظ أما عند مقارنة الثنائي ٤,٨ حيث أن الثنائي رقم ٤ هو أقل مساحة نجد أن قيم ϕ_b تقل بازدياد نقاط التقاطع وتزداد J_s .

جدول رقم ٢ يبين نتائج الأشعة السينية الوميضية للسطح المعامل بالألمنيوم في درجات حرارية مختلفة ويوضح من الجدول ازدياد نسبة الألمنيوم في الطبقة السطحية للرقاقة مع زيادة درجات حرارة التلدين.

رقم النموذج	درجات حرارة التلدين	الألمنيوم %
1	غير معامل	0.07
2	٢٠٠ C°	0.17
3	٤٠٠ C°	2.4
4	٦٠٠ C°	3.92
5	٨٠٠ C°	7.55

جدول رقم ٢ يبين زيادة النسبة المئوية للألمنيوم من سطح السيليكون متعدد البليورات مع درجات حرارة التلدين. إن ظهور نسبة ٠.٠٧% من الألمنيوم في الطبقة السطحية للنموذج غير المعامل حرارياً يرجع إلى عدم نقاوة منصهر السيليكون من الشوائب الموجودة في خام السيليكون والمعروف أن الألمنيوم أحد الشوائب الموجودة في منصهر السيليكون. أما بالنسبة لسطح الرقيقة بعد إزالة طبقة الألمنيوم فقد وجدها أن عملية التلدين لها تأثير على تنافذ الألمنيوم داخل السيليكون محدثة حفر صغيرة على سطح النموذج بعد درجة ٤٥٠C ويزداد مساحة وعمق هذه الحفر مع حرارة التلدين حرارة التلدين وتظهر هذه الحفر بشكل واضح عند حدود الحبيبات ونقط تقاطع للحدود كما أشير إلى ذلك في المرجع (14).

النتائج والمناقشة

يبين الشكل -٢- تغير التوصيلية الكهربائية (٥) مع درجات الحرارة للأقطاب المستوية والأقطاب الشطرورية . تم حساب طاقة التشغيل (E_a) للنمذاج من ميل المستقيم ووجد أنها بحدود ٠.٢ev وهذه القيمة تتفق مع القيمة النظرية المحسوبة ٠.٢١١ ev . ولا تعتمد قيمتها على شكل الأقطاب المستخدمة ولا حظنا اختلافاً قليلاً لقيم طاقة التشغيل عند قياسها في مناطق مختلفة على السطح . الشكل رقم - ٣ - يبين أن قيمة فجوة الطاقة البصرية لسيليكون متعدد البليورات أعلى بقليل من فجوة الطاقة البصرية لسيليكون البليوري (1.1ev) وتعزى هذه الزيادة إلى إسهام الحالات الموضعية الموجودة عند حدود الحبيبات التي تكون بالشكل غير البليوري في عملية الانتقال . تم حساب متغيرات الثنائيات ϕ_b , J_s من خلال رسم العلاقة بين $(\ln I - I)$ (٤) ومن ميل الجزء الخطى للعلاقة بين $(\ln V - V)$ تم حساب عامل المثالية (n) ، حيث أن الميل يساوى q/nKT . إن قيم عامل المثالية كبيرة نوعاً ما ، وسبب ذلك يرجع إلى احتمالية إعادة الشحنات في منطقة الاسترداد أو احتمالية عبور حاملات الشحنة الأكثريّة نتيجة الانبعاث الحراري أو احتمالية انتقال التيار كنتيجة إعادة الاتصال والانبعاث الحراري مزيج من الحالتين الأولى والثانية . وتم قياس كثافة تيار الإشباع العكسي J_s لكل ثانوي من نقاط التقاطع الجزء الخطى للعلاقة $(\ln I - V)$ عند $V=0$ وكذلك تم حساب حاجز الجهد من العلاقة

$$\phi_b = \frac{KT}{q} \ln \frac{A^* T^2}{J_s}$$

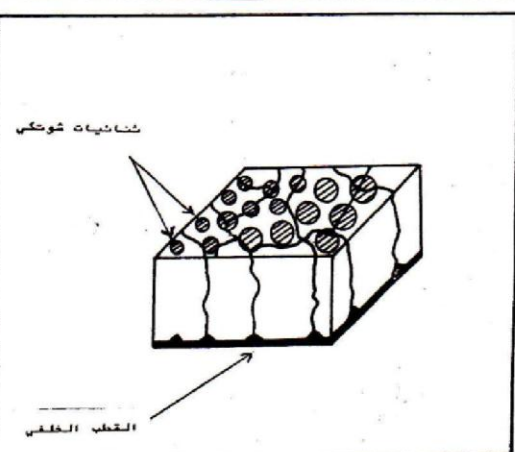
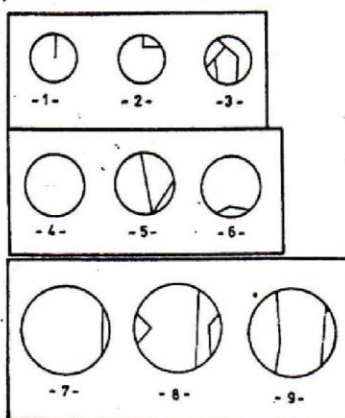
حيث K تمثل ثابت بولتزمان ، T درجة الحرارة بالكلفن ، q شحنة الإلكترون ، J_s كثافة تيار الإشباع العكسي ، A^* ثابت ريتشاردسون وقيمة لسيليكون الموجب في درجة حرارة الغرفة (32 Amp/K.cm^2) .

جدول رقم ١-١- يبين قيم هذه المتغيرات وكتافة طول حدود الحبيبات لوحدة المساحة mm^{-1} (mm⁻¹) لكل ثانوي مع الشكل المكبر للثنائي المناظر. وقد تم حساب طول الحدود تحت المايكروسkop وتقسيمها على مساحة الثنائي ويتمثل كثافة طول الحبيبات (cm^{-1}) من ملاحظة القيم المدونة في الجدول يمكن الاستنتاج بأن كثافة طول حدود الحبيبات لوحدة المساحة (mm^{-1}) لها تأثير قليل على هذه المتغيرات

No.of diode	ε mm ⁻¹	ϕ_0 (V)	n	J_s (Amp/cm ²)
$d=1 \text{ mm}$				
1	9.5	0.8081	1.1	2.63×10^4
2	12.7	0.7407	1.9	3.90×10^4
3	44.5	0.7571	1.5	2.02×10^4
$d=1.5 \text{ mm}$				
4	--	0.8089	2.7	2.54×10^4
5	20.4	0.7883	2.7	5.81×10^4
6	7.9	0.7888	2.8	5.7×10^4
$d=2 \text{ mm}$				
7	5.1	0.7972	4.0	4.07×10^4
8	17.5	0.7938	0.4	4.66×10^4
9	14.8	0.7859	1.9	6.41×10^4

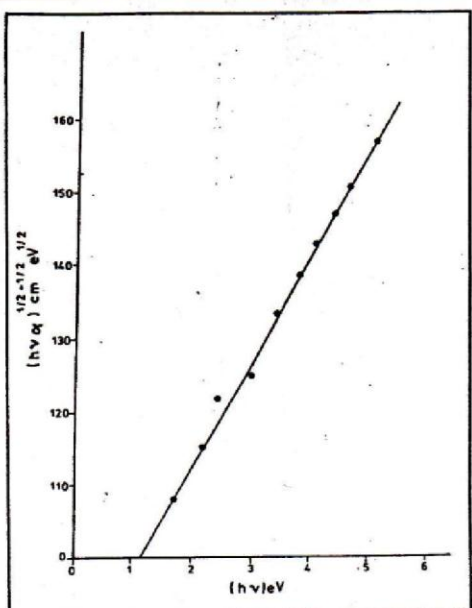
مذول رقم -1-

بيان لمجموعات ثنيات شريكي (ϕ_0, ε, J_s) وكثافة طول مذولة
المبيبات لوحدة المساحة (٨) لآخر تأثير، من الشكل (الكتور ثقلي)، الماظر



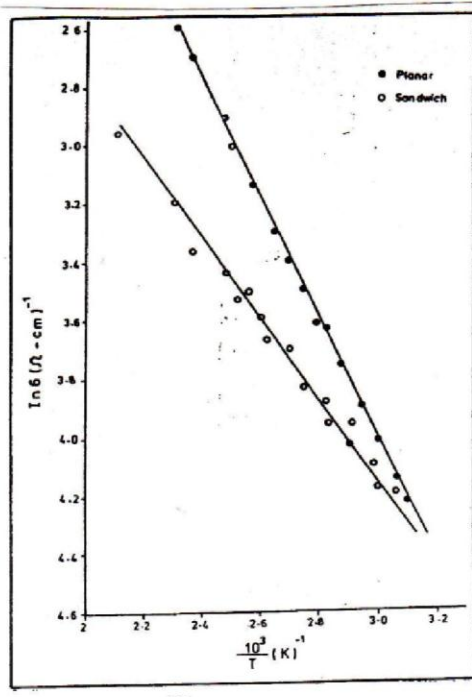
شكل -١- نموذج يبين شناختیات شوکن بمساحات

متخلطة على السليكون متعدد البلورات



شكل رقم -٣- خبر $(hv)^{1/2}$ مع مذلة الشعاعات السليكون

متعدد البلورات



شكل رقم -٤- النسبة بين $\ln(J_s)$ مع $\frac{1}{T}$ لشتابات المستوية

والشلبيات

المراجع

- Response of Polysilicon Solar Cells”, Melecon’84 Solar Energy, P.293.
9. Miralles, A., A.Herms, E. Bertran, A.Cornet, and J.R .Morante, 1985. “Effects of Grain Size and States Density in CdS polycrystalline Solar Cells Devices”, Mlecon’85 Solar Energy,P.29.
 10. Hassan, Y.M., and R.S.Aboud, 1992. International Renewable Energy Conf. June 22-26 ,P.455.
 11. Thanon, H.H.,Y.M.Hassan, and S.J.Shaker, 1988.5th SCSR Conf.
 12. Levi, D.H., L.M.Woods, D.S. Albin, T.A.Gessret, R.C.Reedy, and R.K.Ahrenkiel,1998.“Electrical Characterization of CdTe Grain-Boundary Properties from as Processed CdTe/CdS Solar Cells ”,Proc. Of the 2nd World Conf. on PV Solar Energy Conversion.
 13. Gilmore, A. S., V. Kaydanov, U.Laor,A.Gupta,T.R.Ohno, and B .McCandless,2001.NCPV Program Review Meeting.
 14. Thanon, H.H., 1988. M.Sc. Thesis, Study he lectrical nd Optical properties f he olycrys-talline Silicon”, University of Mosul.
 1. Hovel, H.J., 1979. In Technical Digest International Electronic Devices Metting, P.3.
 2. Bartelink, D.J.,1981. “Grain Boundaries in semiconductors” Mat.Res. Soc.Boston.
 3. Green, M.A., 1982. “Solar Cells”, Prentice Hall, Inc. London.
 4. Lindmayer, J., and Z.C. Putney, 1980.“Semicrystalline Versus Single Crystal Silicon”,14th IEEE Photovoltaic Specialists Conf.p.208.
 5. Khattak, C.P.,and F.Schmid, 1980. “low- Conversion of poly-crystalline Silicon into Sheet by HEM and Fast”,14th IEEE Photovoltaic Specialists Conf., p.484.
 6. Fussm, J.G, and F.A. Lindholm, 1980. “Theory of Grain-Boundaries Intragrain Recombination Currents in Polysilicon p-n Junction Solar Cells”, J.IEEE Transcations on Electron Devices,Vol.ED-27,P.692.
 7. CardH, C.,and E.S.Yang, 1977. “Electronic Processes at Grain Boundaries in polycrystalline semiconductors under Optical Illumination”,J.IEEE Transcations on Electron Devices, Vol.ED-24,P.397.
 8. Kumari, S.,and B.K.Das,1984. “The Effect of Grain Boundary Influence Wdith on The Spectral

المراجع

- Response of Polysilicon Solar Cells", Melecon'84 Solar Energy, P.293.
9. Miralles, A., A.Herms, E. Bertran, A.Cornet, and J.R .Morante, 1985. "Effects of Grain Size and States Density in CdS polycrystalline Solar Cells Devices", Mlecon'85 Solar Energy,P.29.
 10. Hassan, Y.M., and R.S.Aboud, 1992.International Renewable Energy Conf. June 22-26 ,P.455.
 11. Thanon, H.H.,Y.M.Hassan, and S.J.Shaker, 1988.5th SCSR Conf.
 12. Levi, D.H., L.M.Woods, D.S. Albin, T.A.Gessret, R.C.Reedy, and R.K.Ahrenkiel,1998."Electrical Characterization of CdTe Grain-Boundary Properties from as Processed CdTe/CdS Solar Cells ",Proc. Of the 2nd World Conf. on PV Solar Energy Conversion.
 13. Gilmore, A. S., V. Kaydanov, U.Laor,A.Gupta,T.R.Ohno, and B .McCandless,2001.NCPV Program Review Meeting.
 14. Thanon, H.H., 1988. M.Sc. Thesis, Study he lectrical nd Optical properties f he olycrys-talline Silicon", University of Mosul.
 1. Hovel, H.J., 1979. In Technical Digest International Electronic Devices Metting, P.3.
 2. Bartelink, D.J.,1981. "Grain Boundaries in semiconductors" Mat.Res. Soc.Boston.
 3. Green, M.A., 1982. "Solar Cells", Prentice Hall, Inc. London.
 4. Lindmayer, J., and Z.C. Putney, 1980."Semicrystalline Versus Single Crystal Silicon",14th IEEE Photovoltaic Specialists Conf.p.208.
 5. Khattak, C.P.,and F.Schmid, 1980. "Low- Conversion of polycrystalline Silicon into Sheet by HEM and Fast",14th IEEE Photovoltaic Specialists Conf., p.484.
 6. Fussm, J.G, and F.A. Lindholm, 1980. "Theory of Grain-Boundaries Intragrain Recombination Currents in Polysilicon p-n Junction Solar Cells", J.IEEE Transcations on Electron Devices,Vol.ED-27,P.692.
 7. CardH, C.,and E.S.Yang, 1977. "Electronic Processes at Grain Boundaries in polycrystalline semiconductors under Optical Illumination",J.IEEE Transcations on Electron Devices, Vol.ED-24,P.397.
 8. Kumari, S.,and B.K.Das,1984. "The Effect of Grain Boundary Influence Wdith on The Spectral

The Effect of Grain Boundaries on Schottky Diode Parameters

*S.Y.Taha

*J.M.Majid

*Y.M.Hassan

*Department of physics, College of Science, University of Mosul,
Mosul-Iraq

Abstract

The activation energy and optical band gap of different regions (p-type) polysilicon have been measured. Both microscopic studies and current-voltage characteristics of diodes prepared on different surface regions were carried out. Comparison of diodes parameters and microscopic studies indicate that the type of angles between boundaries has a significant effect on diodes parameters while the boundary lengths per unit area has less effect. The mechanism of Al-interaction with grain boundaries and their intersecting points at different temperature were also studies. The X-ray fluorescence spectrometry has been used for detection of diffused Al%.